

小样本时皮尔森 χ^2 量概率分布的讨论*

吴 枢 张春生 李惕碚 程凌翔

(中国科学院高能物理研究所 北京 100039)

1993年6月15日收到

摘要

以高能 γ 天文数据分析中寻找周期信号的相位折迭法为例, 详细研究了小样本时皮尔森 χ^2 量的概率分布, 指出通常所用的皮尔森 χ^2 量分布的渐近表达式低估了大 χ^2 量事件的统计涨落概率, 给出了严格的计算皮尔森 χ^2 量的概率分布式, 并讨论了这一修正对超高能 γ 天文观测结果的影响。同时给出一些蒙特卡罗计算的数值表格, 以便实际应用。

关键词 概率分布, 皮尔森 χ^2 量, 小样本, 超高能 γ 天文, 显著性估计。

1 引言

在科学实验和工业生产中, 人们经常使用统计量皮尔森 χ^2 量(以下简称 χ^2 量)做各种统计推断, χ^2 量的渐近分布函数称为 χ^2 分布。在高能、甚高能和超高能天体物理观测中, 由于有用信号往往很微弱, 观测数据必须经过统计处理, 才能提炼出信息, 实验工作者必须根据数据处理的方法构造相应的皮尔森 χ^2 量, 并根据其值的大小来推断所得结果的置信水平。例如, 为了观测脉冲星所发射的周期性的X射线或 γ 射线, 实验工作者探测该脉冲星的X射线或 γ 射线的辐射, 记录下每个光子的到达时间, 由于信噪比太小或由于信号光子数太少, 从原始记录中不能直接看出是否存在周期结构。常用的一种方法是按一个给定的周期, 把原始数据折迭到一起, 分该周期为 m 道, 全部光子将落入各道之内, 形成一个分布, 称为相图。利用从相图算出的皮尔森 χ^2 量及 χ^2 分布, 来估计数据中含有周期成分的概率。1983年, 西德 Kiel 组^[1]报道, 首次观测到来自 Cyg X-3 方向的超高能 γ 射线和它的4.8小时的周期结构(χ^2 量为45, 自由度为9), 总光子数为41个, 他们用 χ^2 分布估计出, 如果此周期现象是由于本底的涨落造成, 则其几率只有 10^{-6} 。

然而, 应当注意, 皮尔森 χ^2 量并不精确服从通常的 χ^2 分布, 只是在大样本时渐近服从 χ^2 分布。当样本较小时, 皮尔森 χ^2 量的真实分布与 χ^2 分布函数有很大差异, 这时如果还利用 χ^2 分布函数做统计推断, 往往会高估显著性水平。本文详细研究了这一问题, 讨论了天体测量的周期分析中可以近似应用通常的 χ^2 分布函数的条件。本文也给

* 国家自然科学基金资助。

出了一个精确计算皮尔森 χ^2 量概率分布的公式，并作了蒙特卡罗计算进行比较。

2 χ^2 分布函数及其在小样本情况下的近似性

设有随机变量 ζ 定义在 $[a, b]$ 区间，把 $[a, b]$ 分成 m 道，对 ζ 做 N 次观测，设 ζ 的观测值出现在第 i 道的频数为 n_i ，而 ζ 的值出现在第 i 道的概率为 p_i ，则统计量

$$\chi^2 = \sum_{i=1}^m \frac{(n_i - Np_i)^2}{Np_i} \quad (1)$$

称为皮尔森 χ^2 量（以下简称 χ^2 量），它也是一个随机变量。而表达式

$$p(\chi^2, v) = \frac{1}{2^{\frac{v}{2}} \Gamma\left(\frac{v}{2}\right)} (\chi^2)^{\frac{v}{2}-1} e^{-\frac{\chi^2}{2}} \quad (2)$$

即 χ^2 分布概率密度函数，是皮尔森 χ^2 量的概率密度函数的渐近表达式。 v 称为自由度， $v = m - 1$ 。

在天体物理观测数据中搜寻周期信号是皮尔森 χ^2 量应用的一个典型例子。设观测到来自某一天体的光子的到达时间为 $t_i (i = 1, \dots, N)$ ，对给定的周期 T 做折迭，按下式可得到每个光子的相位值 φ_i ；

$$\varphi_i = \frac{t_i}{T} - \left[\frac{t_i}{T} \right], \quad (3)$$

其中 $\left[\frac{t_i}{T} \right]$ 表示 t_i/T 的整数部分。显然 φ_i 定义在 $[0, 1]$ 区间，如果没有周期信号， φ_i 应均匀分布在 $[0, 1]$ 区间。由 (1) 式可以算出折迭得到的相图的 χ^2 量。如果观测数据中存在周期信号，则按此周期来折迭数据所得到的相图的 χ^2 量应该较大（显著大于 χ^2 量的平均值 $m - 1$ ）。反之，如果得到了较大的 χ^2 量，则可以用 (2) 式估计由于均匀本底的统计涨落出现如此大的 χ^2 量的概率，也就是说，可以估计观测数据中含有该周期信号的置信水平。

为了明确地显示出 (2) 式的近似性，用一个简单方法来推导 (2) 式，该方法的普遍性稍差，但它可明确指出，用 (2) 式做为 χ^2 量的密度函数时，近似在何处。假定，观测数据中只有本底光子，没有周期信号，则 (1) 式中 $P_i = P = \frac{1}{m}, (i = 1, \dots, m)$ ，设 $\omega_i = \frac{n_i - NP}{\sqrt{NP}}$ ，

如果 n_i 足够大，则 ω_i 渐近服从标准正态分布，因此，随机变量 $y_i = \omega_i^2$ 的分布密度函数为

$$p(y_i) = \frac{1}{\sqrt{2\pi y_i}} e^{-\frac{y_i^2}{2}}, \quad (4)$$

其特征函数为 $(1 - 2iy)^{-\frac{1}{2}}$ 。所以， $\chi^2 = \sum_{i=1}^m y_i$ 的特征函数为 $(1 - 2iy)^{-\frac{m}{2}}$ ，由此，易于求出 χ^2 的分布密度函数如 (2) 式所示。从推导过程可知，仅仅总光子数 N 很大还不能得到 (4) 式，只有当总光子数 N 及每道的光子数 n_i 都足够大时，(1) 式所定义的 χ^2 量才渐近服从 (2) 式所定义的 χ^2 密度函数。

在超高能 γ 天文中, 通常 γ 光子的流强都很小, 上述要求往往不能满足, 如引言中提到的工作^[1]的观测, 总事例数 41, 平均每道只有 4.1 个光子, 服从很不对称的泊松分布, 与正态分布相差甚远。如果用(2)式做显著性估计, 可能会高估置信水平。

3 用于周期折迭的 χ^2 量的精确分布及蒙特卡罗结果

对于上述周期折迭, 光子之间相互独立, 每个光子落入任何一道的概率为 p_i , 则第 1 道包含 n_1 个光子, ……, 第 m 道包含 n_m 个光子这一事件的概率为

$$p(n_1, \dots, n_m) = \frac{N!}{n_1! \cdots n_m!} p_1^{n_1} \cdots p_m^{n_m}, \quad (5)$$

如果背景光子服从均匀分布, 则有 $p_1 = p_2 = \cdots = p_m = \frac{1}{m}$, (5)式变为

$$p(n_1, \dots, n_m) = \frac{N!}{n_1! \cdots n_m!} \left(\frac{1}{m}\right)^N. \quad (6)$$

对于给定的 χ^2 值, 例如 $\chi^2 = \chi_0^2$, 可能会有多种 (n_1, \dots, n_m) 的组合满足之。因此, 对于给定的 χ_0^2 出现的概率为

$$p(\chi^2 = \chi_0^2) = \sum_{\chi^2=\chi_0^2} p(n_1, \dots, n_m), \quad (7)$$

求和是对满足 $\chi_0^2 = \sum_{i=1}^m \frac{(n_i - \frac{N}{m})^2}{\frac{N}{m}}$ 所有可能的 (n_1, \dots, n_m) 的组合进行的。用蒙特卡

罗方法验证了(7)式, 做法如下: (I) 产生包含 N 个粒子的时间序列, 粒子之间的到达时间之差服从指数分布。(II) 选取 10^4 个相互独立的周期做折迭。(III) 计算折迭所得相位图的 χ^2 量。(IV) 重复步骤(I)–(III)。最后, 统计不同的 χ^2 量的值出现的数目, 并由此计算 χ^2 量取各种值的概率。

图 1 给出自由度 $\nu = 9$, $N = 30, 60, 100, 200, 400$ 时, 蒙特卡罗及(2)式和(6)式以及(7)式的计算结果。横坐标为约化 χ^2 量 $(\frac{\chi^2}{\nu})$, 纵坐标为微分概率的对数值 ($\log_{10} P(\chi^2)$)。为方便比较, 从 $N = 60$ 到 400 , 纵坐标依次下降三个量级。直方图是 $N = 30$ 时, (6)式以及(7)式的计算结果。图 2 给出 $\nu = 19$, $N = 200$ 时的蒙特卡罗及(2)式的计算结果, 较之图 1 的 $N = 200$ 那条曲线, 它与(2)式的差别更大, 原因在于此图是针对 $m = 20$ 计算的, 每道的光子数更少。表 1 给出 $\chi^2 > 40$ 时, 由(7)式与(2)式所计算的积分概率的比较。从图明显看出, 蒙特卡罗模拟与(6)式加上(7)式的计算结果符合得很好, 而(2)式的结果与蒙特卡罗有明显偏离, 尤其当 N 较小及 χ^2 量较大时, 此种偏离将变得很大。例如, $N = 30, \nu = 9, \chi^2 > 60$ 时, (2)式算出的值比蒙特卡罗的结果小 100 倍, 而 30–40 个观测光子, 正是超高能天文观测中常遇到的。此时如果还用(2)式做显著性检验, 将会高估信号的置信水平。

以上讨论是在背景光子为均匀分布的假设下作出的。在地面进行的超高能 γ 观测往

往遇到非均匀分布的本底。此时可用(5)式加上(7)来作显著性的估计。对非均匀本底，

(5)式的正确性可简单论证如下。因为任何一种连续的概率分布，都可通过一个反函数变换变成一个均匀分布^[2]。而代表均匀分布的(6)式已经通过验证是正确的，所以(5)式也是正确的。在地面进行的超高能 γ 射线观测，由于观测仪器随地球转动，使得从任何一个固定天区入射的 γ 射线在不同的时间经过不同厚度的大气吸收，其本底计数是沿时间轴以一天为周期的非均

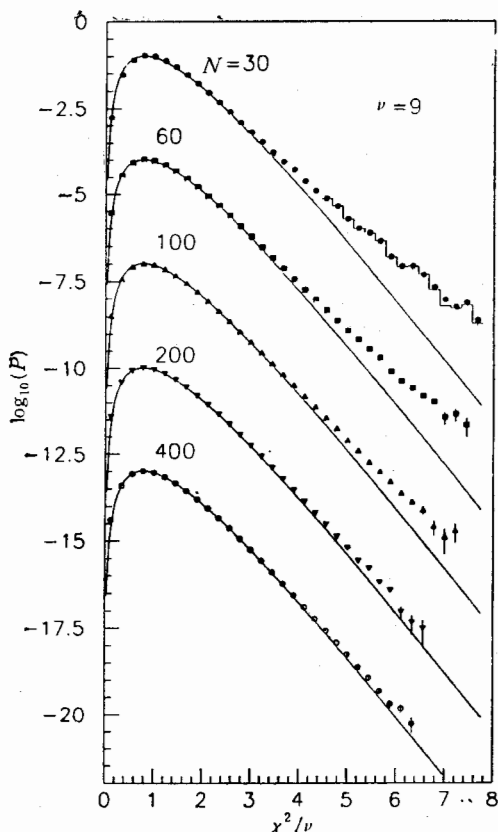


图1 自由度 $v = 9$, 样本数 $N = 30, 60, 100, 200, 400$ 时, 蒙特卡罗及(2)式和(7)式(见正文)的计算结果

其中实曲线由(2)式算出, 直方图由(7)式算出, “◆”“●”“○”“▲”“■”符号是蒙特卡罗结果。为方便比较, 从 $N = 60$ 到 400 , 纵坐标依次下降三个量级。

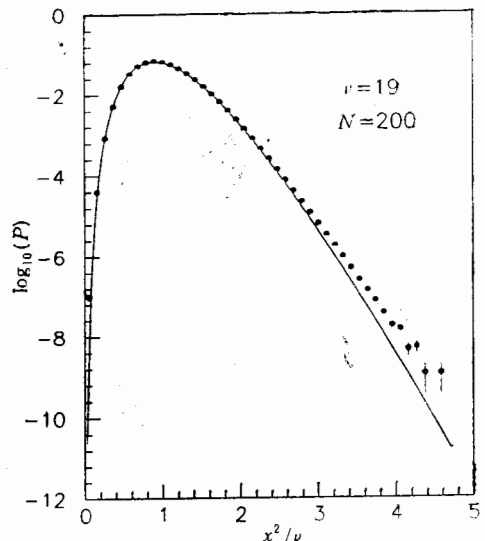


图2 $v = 19, N = 200$ 时, 蒙特卡罗结果(圆点)与(2)式(曲线)的比较

匀分布。如果观测时间相当长(与折迭的周期相比), 这种非均匀性可以忽略, 反之则需要认真地考虑。但是在实验工作中, 为简单起见, 人们往往没有考虑这种效应。对于非均匀本底直接用(5)式及(7)式计算 χ^2 量的概率很不方便。由于非均匀本底的具体形状又因实验而异, 难以对各种各样的情况给出类似于表(1)那样的数值结果。所以, 较方便的办法是根据本底的实测值, 用蒙特卡罗直接计算各种 χ^2 值出现的概率。现以 Kiel 组的工作^[4]为例, 用蒙特卡罗方法来讨论小样本和非均匀性可能引起多大的误差, 过程如下: (1) 考虑实验的有效观测时间, 以及背景光子由于大气吸收的衰减, 计算出光子的记录效率, 进而抽样出观测到的 41 光子的时间序列; (2) 按原文中所用的 Cyg X-3 的轨道周期值和相位原点进行周期折迭, 计算皮尔森 χ^2 量。重复以上步骤(改变随机数抽样种子)并统计 χ^2 量的分布。显然, 以上计算同时包含了小样本和本底非均匀性的效应。结果表明, $\chi^2 > 45$ 的事件出现的概率为 5×10^{-5} , 这比 Kiel 组报道的值约大 50 倍。从表 1

可以估计出 $N = 41$ 时均匀分布的背景光子产生 $\chi^2 > 45$ 的概率约为 5.8×10^{-6} , 因此, 对 Kiel 组的观测来讲, 由于既没有考虑本底的非均匀性, 又没有考虑到小样本时不能使用(2)式, 所以大大高估了结果的显著性, 其中, 本底的非均匀造成的影响更大.

表1 自由度 $\nu = 9, \chi^2 > 40$ 时, 通常用的 χ^2 分布渐近式与真实 χ^2 分布式所计算出的积分概率的比较

χ^2 量	>40	>45	>50	>55	>60	>65
普通 χ^2 分布式	9.4×10^{-6}	1.0×10^{-6}	1.1×10^{-7}	1.1×10^{-8}	1.2×10^{-9}	1.3×10^{-10}
真实 χ^2 分布式 $N = 30$	2.8×10^{-5}	7.4×10^{-6}	2.0×10^{-6}	5.1×10^{-7}	1.3×10^{-7}	3.5×10^{-8}
$N = 60$	1.8×10^{-5}	3.9×10^{-6}	8.6×10^{-7}	1.9×10^{-7}	4.3×10^{-8}	9.4×10^{-9}
$N = 100$	1.2×10^{-5}	2.3×10^{-6}	4.4×10^{-7}	8.4×10^{-8}	1.6×10^{-8}	3.0×10^{-9}
$N = 200$	1.0×10^{-5}	1.6×10^{-6}	2.5×10^{-7}	4.0×10^{-8}	6.2×10^{-9}	9.9×10^{-10}

从本文对皮尔森 χ^2 量的讨论可以看出, 应用任何一种统计量的渐近分布时, 都应该注意渐近分布的近似性。尤其应用它来估计小概率事件时, 更应注意, 因为渐近分布往往在大概率部分与精确分布一致, 而在小概率部分会呈现较大差异。

参 考 文 献

- [1] M. Samorski and W. Stamm, *Astrophys. J.*, **268** (1983) L17.
[2] 李惕碚,《实验的数学处理》,科学出版社, 1980.

Probability Distribution of the Pearson χ^2 of Small Samples

Wu Mei Zhang Chunsheng Li Tipei Cheng Lingxiang

(Institute of High Energy Physics, Academia Sinica Beijing 100039)

Received on June 15, 1993

Abstract

The probability distribution of the Pearson χ^2 of small samples was investigated in detail, by use of the period analysis of high energy astrophysical observations as an example. It is pointed out that the commonly used formula of χ^2 distribution leads to underestimating fluctuation probabilities of large Pearson χ^2 events if one uses that formula as the probability distribution of the Pearson χ^2 . A new formula is presented for more precise calculation of the Pearson χ^2 probability distribution and compared with extensive Monte Carlo simulation results.

Key words: probability distribution, statistic Pearson χ^2 , small samples, UHE gamma-ray astronomy, significance estimation.